

東北大学工学部 学○西村 修

" 正後藤 光龜

" 學円谷 秀夫

I はじめに 本報告では、天日乾燥法における重力脱水過程を実験的に解析した。また従来の天日乾燥法の変法として用いられている、ろ材付近の低含水率ケーキ層の機械的攪拌やろ材下に真空度を与えた場合の改善効果について若干の考察を加えた。

II 実験試料 試料は、PACより生成させた水和アルミナ、カオリンのモデル汚泥および河川表流水を取水源とする上水汚泥である。用いた上水汚泥は比較的沈降性が良好であった。

III 実験装置および方法 重力脱水実験装置の概要を図-1に示す。カラムはφ5cmの透明アクリル管で、下部は3布を介し、No.5cのろ紙をゴム栓にシールテープで密着させろ材とした。本装置によりモデル汚泥の重力脱水実験を行なった。上水汚泥の重力脱水実験では、φ12cmの透明アクリル管に有効径0.78mm、均等係数1.0の砂を15cmに充填しろ材とした。また、任意の時間の脱水過程を知るため、汚泥をカラム内に押し上げてスライスし、汚泥内の含水率分布を求めた。また、上水汚泥では砂層内への濁質の滞留分布も同様にして求めた。

別に、各濃度における試料の透水能力を知るために、透過実験を行なった。

装置はφ5cmの透明アクリル製で、試料厚は2cmとした。

水和アルミナは、汚泥打込厚を40, 80cmとし、初期含水率は99.46%である。カオリン汚泥では、打込厚を40, 80cmとし、初期含水率は72~93%に変化させた。上水汚泥は、汚泥打込厚30cm、初期含水率93.6%である。

IV 実験結果および考察 図2~4に、それぞれ水和アルミナ、カオリン汚泥、上水汚泥の重力脱水時のケーキ層内含水率分布の一例を示す。水和アルミナは、汚泥打込厚80cmの場合排水面の含水率は96.5%程度にしか低下せず、脱水後期では汚泥表面が乾燥によると考えられる含水率低下を示している。上水汚泥では、排水面の含水率は86%まで低下し、水和アルミナとは約10%の差を生じた。また、水和アルミナと上水汚泥とも下に凸の含水率分布を生じている。

これに対し、カオリン汚泥では脱水時間12.5時間において、ろ材面から6cmまでは重力脱水が主体となるケーキ生成が認められるが、ろ材付近のケーキ層内含水率分布は上に凸の曲線となり、水和アルミナや上水汚泥の含水率分布と異なる特性を示す。また、カオリン汚泥では重力脱水による自重圧密効果が無視できないと考えられ、ろ材面から6~20cmまでは打込時(圆中点線)よりも含水率が低下している。

図2~4では、各試料の含水率の範囲がかなり

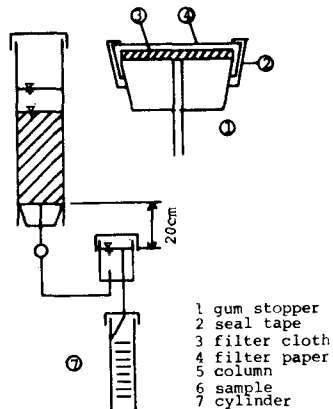


Fig. 1 Gravity Dewatering Test

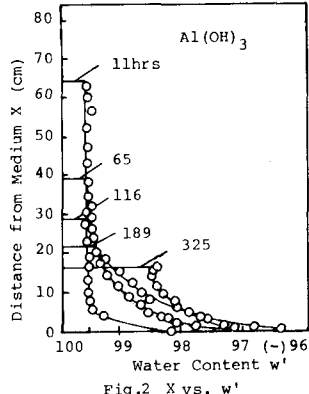


Fig. 2 X vs. w'

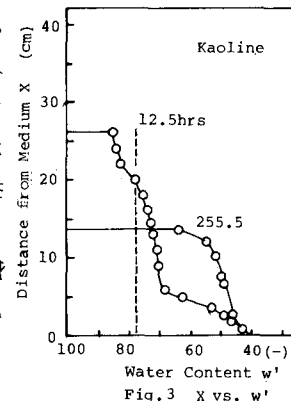


Fig. 3 X vs. w'

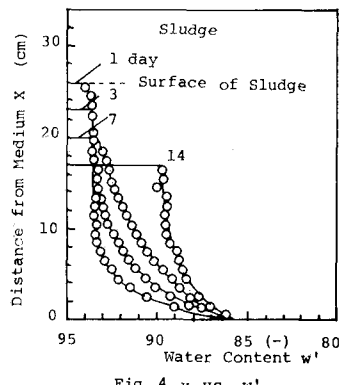


Fig. 4 X vs. w'

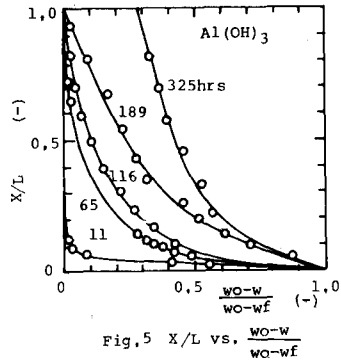


Fig. 5 X/L vs.  $\frac{w_0 - w}{w_0 - w_f}$

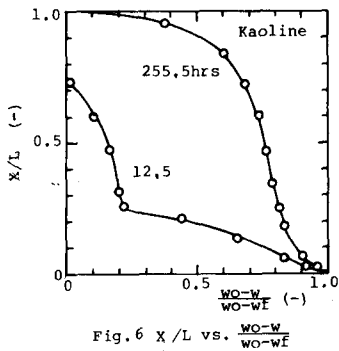


Fig. 6 X / L vs.  $\frac{W_0 - W}{W_0 - W_f}$

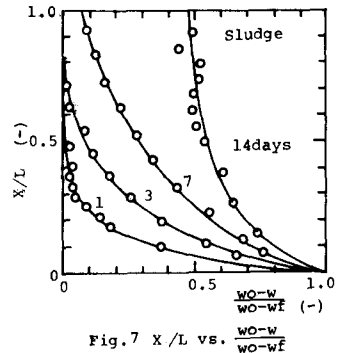


Fig. 7 X/L vs.  $\frac{w_0-w}{w_0-w_f}$

異なるので、含水率を  $(W_0 - w) / (W_0 - w_f)$ 、汚泥厚を  $z/L$  として無次元化し、図5-7に示した。 $(W_0: 初期含水率, w_f: 最終含水率, z: 汚泥層からの距離, L: 汚泥厚)$  これらの図より、上水汚泥の重力脱水過程は水和アーリナにはば近似できる。汚泥全体がケーキ層になる脱水時間は水和アーリナは約8日、上水汚泥は約6日である。図5-8に示すように、脱水初期では  $\theta/\alpha$  と  $\alpha$  はほぼ直線に近似できるが、汚泥全体がケーキ層になると  $\theta/\alpha$  と  $\alpha$  の曲線は上方に急激に立ち上がるようになり、汚泥は3回により脱水とは異なる固液分離過程に入ると考えられる。ここで図中の  $\alpha$  は単位面積当たりの干渉量である。

各汚泥層における損失水頭分布を図-9に示した。ただし越流部を0cmとした。同図から、生成ケイ層による損失が大きく、排水面付近のケイ層が3液速度を律速することが知れる。次に、天日乾燥法の変法として、排水面付近の低含水率ケイ層を機械的に攪拌した次の2ケースについて検討する。

(A) 図-9で上澄水を排除する。(B) 上澄水を排除し、全層を攪拌し均一にする。

(C) 上澄水を排除し、ケイ層(6cm厚)のみを攪拌し均一にする。式①、②を用いて試算すると(B)の場合攪拌を加えない(A)より約3.5倍の3液速度の改善が期待される。(C)の場合でも(A)の場合より約2.9倍の3液速度の改善が期待される。これらの結果から、(C)の場合のように、排水付近の低含水率ケイ層の破壊のみでも3液速度がかなり改善されることがわかった。

また、これらの結果を3枚下に真空度を与えた場合に換算すると(B)の場合 $-170\text{ cmH}_2\text{O}$ 、(C)の場合 $-140\text{ cmH}_2\text{O}$ の真空度に相当する。

Ⅳ おわりに 今後は、重力脱水過程についてさらに検討を加え  
間欠的機械攪拌等に対する効果や、天日乾燥法に用いる木材につい  
て検討を加えていきたい。本報告をまとめると当り、東北大学大学  
院生态循環工芸の協力を得た。ここに感謝の意を表します。

前、本研究は文部省科学研究費の補助を受けたことを付記する。

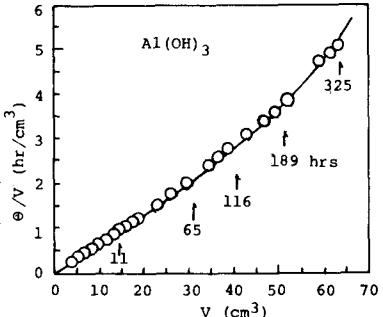


Fig. 8  $\Theta/V$  vs.  $V$

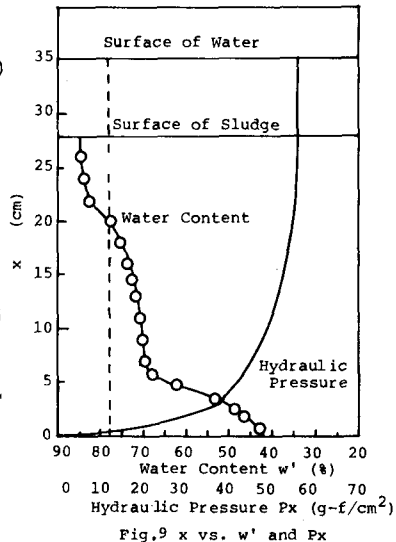


Fig. 9 x vs. w' and Px

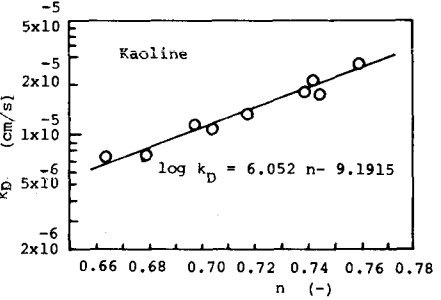


Fig. 10  $k_D$  vs.  $n$